

*В.А.ТКАЧЕНКО, проф., к.т.н., НАКУ им. Н. Е. Жуковского «ХАИ»*

## **О ЖЕСТКОСТИ ПЛАНЕТАРНЫХ МЕХАНИЗМОВ**

The associations on a rigidity of planetary mechanisms of the simples and closed schemes are deduced and analyzed. Is shown, that the rigidity of the planetary mechanism depends on design data  $x\lambda$ . The recommendations for a drop of a rigidity of satellite blocks are reduced with the purpose of a diminution of nonuniformity of a load among satellites.

Деформативность (податливость) и жесткость любой проектируемой механической системы являются характеристиками ее поведения как в статических так и в динамических условиях. Оптимальность конструкции определяется оптимальностью величин податливости или жесткости ее деталей и конструкции в целом.

Любой многосателлитный планетарный механизм является прежде всего статически неопределимой системой и определение реальных сил как в зацеплениях так и во всех других кинематических парах невозможно без привлечения уравнений деформации, то есть без учета жесткости всех элементов и деталей. В динамическом смысле деформативность деталей определяет поведение всего механизма (его собственные крутильные колебания, дополнительные динамические усилия в кинематических парах, изменяет реальный закон движения звеньев и т.п.).

Обычно принимают, что максимальная сила в зацеплении  $z_1 - z_2$  многосателлитного планетарного механизма

$$P_{\max}^n = P_{\text{ср}}^n \cdot \Omega = C_{\text{сi}} \delta, \quad (1)$$

где  $\Omega$  – коэффициент неравномерности распределения нагрузки среди спутников,

$C_{\text{сi}}$  – жесткость одного спутничного узла (коэффициент линейной

жесткости), приведенная к линии зацепления  $z_1 - z_2$ ,

$\delta$  – эквивалентное смещение зуба  $z_1$  вдоль линии зацепления, являющееся суммой эквивалентных упругих деформаций всех деталей сателлитного узла. Чаще всего

$$\delta = \delta_{\text{зац}_{12}} + \delta'_{\text{зац}_{34}} + \delta_{\text{об}_1} + \delta_{\text{об}_2} + \delta'_{\text{об}_3} + \delta'_{\text{об}_4} + \delta'_{\text{кр}} + \delta'_{\text{из}} + \delta'_{\text{подш}} + \delta'_{\text{ш}} + \delta'_{\text{п}} \quad (2)$$

Штрихами обозначены приведенные к линии зацепления  $z_1 - z_2$  деформации  $\delta'_{\text{зац}_{34}}$  зацепления колес  $z_3 - z_4$ , деформация кручения вала сателлита  $\delta'_{\text{кр}}$ , деформация изгиба вала сателлита  $\delta'_{\text{из}}$ , деформация подшипников сателлита  $\delta'_{\text{подш}}$ , деформация перемычек водила  $\delta'_{\text{п}}$  и деформация шпонок, шлицев или других элементов крепления венцов сателлитов к валу  $\delta'_{\text{ш}}$ .

Исследованию жесткости зубчатого зацепления ( $\delta_{\text{зац}_{12}}$  и  $\delta_{\text{зац}_{34}}$ ) посвящено много трудов, фундаментальными из которых являются труды проф. Айрапетова Э.Л. и проф. Кудрявцева В.Н. По Айрапетову Э.Л. [1] жесткость зубьев зависит от фазы зацепления и коэффициента перекрытия  $\varepsilon$

$$C_{\text{зац}} = \frac{bE}{11,2} \left[ 1 - 0,4 \left( 1 - \frac{2x}{\varepsilon} \right)^2 \right], \quad (3)$$

где  $x = 0$  соответствует моменту входа в зацепление,  $x = \varepsilon - 1$  и  $x = 1$  - началу и концу однопарного зацепления, а  $x = \varepsilon$  - выходу из зацепления,  $-b$  - ширина зубчатого колеса.

Переменность величины  $C_{\text{зац}}$ , ее периодические изменения - причина возникновения гармонических колебаний и неодинаковости жесткостей сателлитных блоков ( $C_1 \neq C_2 \neq C_i \neq \dots \neq C_k$ ).

Проф. Кудрявцев В.Н. [2] дополнительно отмечает зависимость коэффициента жесткости зацепления от угла наклона  $\beta$  зубьев (снижение  $C_{\text{зац}}$  с ростом угла наклона) и для  $\overline{\text{AI}}$ -механизмов при  $\beta = 0$  рекомендует

принимать  $\frac{C_{\text{зац}}}{b} \approx 15000 \text{ Н/мм}^2$  для однопарного зацепления и  $\frac{C_{\text{зац}}}{b} = 26000$

Н/мм<sup>2</sup> в зоне двухпарного зацепления.

Деформации остальных элементов по зависимости (2) могут быть определены по [1, 2, 3] с учетом приведения их к линии зацепления  $z_1 - z_2$ .

Обычно для многосателлитного механизма принимают, что жесткости всех сателлитных узлов одинаковы, то есть  $C_i = C_1 = C_2 = \dots = C_k$ . Тогда общая крутильная жесткость всего сателлитного блока  $C_6$ , состоящего из  $k$  сателлитных узлов, соединенных параллельными одинаковыми жесткостями  $C_i$  (после подстановки жесткостей всех элементов в уравнение деформации (2))

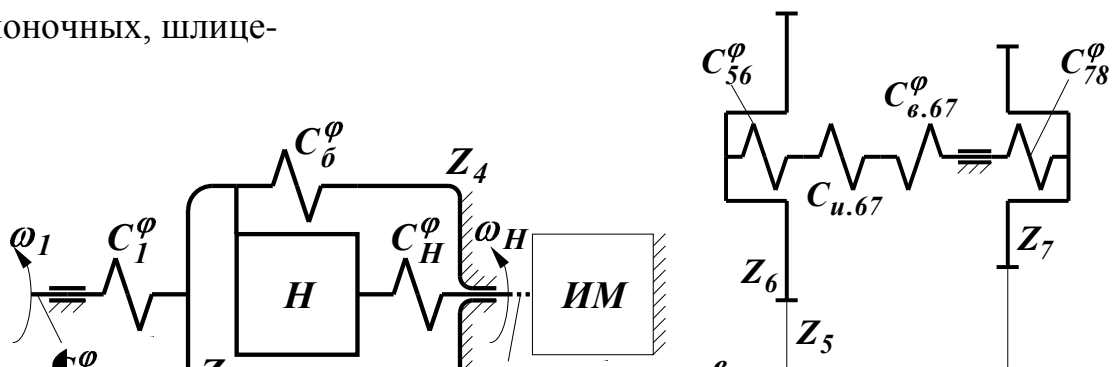
$$\frac{1}{C_6^\varphi} = \left( \frac{i_{1H}^4}{i_{1H}^4 - 1} \right)^2 \frac{\Omega}{k \cdot r_1^2 \cos^2 \alpha_{\omega_{12}}} \cdot \left[ \frac{1}{C_{12}} + \frac{\lambda^2 \cos^2 \alpha_{\omega_{12}}}{C_{34} \cos^2 \alpha_{\omega_{34}}} + \frac{|\chi \lambda \pm 1|}{C_{и23}} \cdot \cos \alpha_{\omega_{12}} + \frac{r_2^2}{C_{В23}^\varphi} \cdot \cos^2 \alpha_{\omega_{12}} + \frac{1}{C_{п}} \cdot \frac{r_H r_1}{r_H^2} \cdot \cos^2 \alpha_{\omega_{12}} \right], \quad (4)$$

где  $\chi \lambda = \frac{d_2}{d_3}$  – конструктивный параметр планетарного механизма,

$$\frac{1}{C_{12}} = \frac{1}{C_{защ12}} + \frac{1}{C_{об1}} + \frac{1}{C_{об2}}, \quad \frac{1}{C_{34}} = \frac{1}{C_{защ34}} + \frac{1}{C_{об3}} + \frac{1}{C_{об4}},$$

$$\frac{1}{C_{и23}} = \frac{1}{C_{и}} + \frac{1}{C_{подш}}, \quad \frac{1}{C_{В23}^\varphi} = \frac{1}{C_{В}^\varphi} + \frac{1}{C_{и}^\varphi}$$

В целом, упругая динамическая модель планетарного механизма при  $\omega_4 = 0$  (не имеющего цепей замыкания) может быть представлена на рис.1а и включает, кроме крутильной жесткости сателлитного блока  $C_6^\varphi$ , крутильную жесткость центральных валов ( $C_1^\varphi$  и  $C_H^\varphi$ ), к которым относят также жесткости других упругих элементов: центральных шлицевых муфт, шпоночных, шлице-





$\omega_4 = 0$ ), приведенная к центральному звену  $z_1$ , может быть выражена

$$\frac{1}{C_{пл.1}^\Phi} = \frac{1}{C_1^\Phi} + \frac{1}{C_H^\Phi} + \frac{1}{C_6^\Phi}, \quad (5)$$

а приведенная к валу водила Н

$$\frac{1}{C_{пл.Н}^\Phi} = \frac{1}{C_1^\Phi} + \frac{1}{C_H^\Phi} + \frac{1}{C_6^\Phi} \quad (6)$$

Анализируя полученные зависимости (4), (5) и (6), можно сделать главные выводы: проектирование сателлитных узлов с целью снижения неравномерности нагрузки среди сателлитов ( $\Omega$ ) следует вести, стремясь сделать их более податливыми (менее жесткими), применять податливые подшипники, валы, ободья колес, зацепления, возможно большее число сателлитов  $k$  и параметр  $\chi\lambda$ . Особенностью является поведение водила. Получению более равномерной нагрузки среди сателлитов способствует снижение жесткости его щек и перемычек  $C_{п.}$ . Однако, при этом увеличивается перекося осей сателлитов и резко возрастает неравномерность нагружения зубьев по длине. Поэтому в большинстве случаев водило в целом следует делать более жестким (или принимать меры, обеспечивающие равномерность нагружения зубьев по длине при податливом водиле).

В дифференциальных механизмах при  $\omega_4 \neq 0$  (см. динамическую модель на рис.1б) образуются как бы две параллельные ветви деформаций (ab и ac) со своими жесткостями. Условно можно принять, что в ветви ab действуют все элементы сателлитного блока, а жесткость ветвей ac определяют элементы водила  $C_H^\Phi$ . При необходимости жесткость на валу колеса  $z_4$  (по линии ab) может быть определена из равенства потенциальных энергий

$$\frac{C_{пр.в}\varphi_4^2}{2} = \frac{C_6^\Phi\varphi_1^2}{2} \quad (7)$$

Так как  $\frac{\varphi_1}{\varphi_4} = \frac{\omega_1}{\omega_4}$ , то  $C_{пр.б} = C_6^\varphi \left( \frac{\omega_1}{\omega_4} \right)^2 = C_6^\varphi i_{14}^{-2}$ , где  $\omega_4$  – абсолютная

угловая скорость колеса  $z_4$ , а  $i_{14}$  – передаточное отношение абсолютных угловых скоростей.

В замкнутых планетарных механизмах предварительно определяется приведенная жесткость всего блока переборов, состоящего и  $k_{п}$  переборных узлов (см. динамическую модель на рис.1в). Поэлементный учет всех жесткостей ничем не отличается от рассмотренного для сателлитного узла, но приведение удобнее выполнить на вал перебора  $z_6 - z_7$  в виде

$$\frac{1}{C_{б.п}} = \frac{\Omega_{п}}{k_{п}} \cdot \left[ \frac{1}{C_{56}^\varphi} + \frac{1}{C_{78}^\varphi} + \frac{1}{C_{в57}^\varphi} + \frac{1}{C_{и67} r_6^2 \cos^2 \alpha_{\omega_{56}}} \right], \quad (8)$$

где  $C_{56}^\varphi = C_{56} r_6^2 \cos^2 \alpha_{\omega_{56}} \approx K_3 r_6^2 b_6$ ,  $C_{78}^\varphi = C_{78} r_7^2 \cos^2 \alpha_{\omega_{78}} \approx K_3 r_7^2 b_7$  и  $K_3 = 15000 \text{ Н/мм}^2$ .

Общая упругая динамическая модель замкнутого планетарного механизма может быть представлена (рис.1г) состоящей из нескольких приведенных жесткостей сателлитного блока  $C_6^\varphi$ , блока переборов  $C_{б.п}^\varphi$ , водила  $C_{н}^\varphi$  и крутильных жесткостей центральных валов и их упругих соединений в виде  $C_1^\varphi$ ,  $C_{в45}^\varphi$ ,  $C_{в.н}^\varphi$  и др.

Направление внешнего силового потока от а к d (и далее к исполнительному механизму ИМ) создает две параллельные ветви жесткостей в пределах замкнутого контура. Жесткость ветви b, приведенная к валу d, может быть определена как

$$\frac{1}{C_b} = \frac{1}{C_6^\varphi i_{1d}^{-2}} + \frac{1}{C_{в45}^\varphi i_{4d}^{-2}} + \frac{1}{C_{б.п}^\varphi i_{6d}^{-2}}, \quad (9)$$

где  $i_{4d} = \frac{\omega_4}{\omega_d}$  и  $i_{6d} = \frac{\omega_6}{\omega_d}$  - абсолютные передаточные отношения.

Жесткость ветви  $c$ , приведенная к выходному звену  $d$ ,

$$\frac{1}{C_c} = \frac{1}{C_H^\varphi} + \frac{1}{C_{в.Н}^\varphi} \quad (10)$$

Обе жесткости  $C_b$  и  $C_c$  создают одну и ту же деформацию звена приведения  $\varphi_{пр} = \varphi_d$ , что отвечает действию некоторых приведенных моментов  $T_{пр.б} = C_b \cdot \varphi_{пр}$  и  $T_{пр.с} = C_c \cdot \varphi_{пр}$ , алгебраическая сумма которых составляет приведенный момент на валу  $d$

$$T_{пр.д} = |T_{пр.б} \pm T_{пр.с}| = |C_b \varphi_{пр} \pm C_c \varphi_{пр}| = C_{пр.д} \cdot \varphi_{пр}, \quad (11)$$

где  $C_{пр.д} = |C_b \pm C_c|$  – суммарная жесткость всего замкнутого контура, приведенная к звену  $d$ .

С учетом  $C_1^\varphi$  получим общую жесткость всего замкнутого планетарного механизма, приведенную к звену  $z_1$ , в виде

$$\frac{1}{C_{пл.1}^\varphi} = \frac{(i_{1d})^2}{C_{пр.д}} + \frac{1}{C_1^\varphi} = \frac{(i_{1d})^2}{|C_c \pm C_b|} + \frac{1}{C_1^\varphi} \quad (12)$$

Знак минус отвечает наличию циркулирующей мощности  $N_{ц}$  в замкнутом контуре.

При отсутствии циркулирующей мощности  $N_{ц} = 0$  динамическая модель представляется (рис.1д) параллельным соединением приведенных жесткостей  $C_c$  и  $C_b$  с разветвлением момента  $T_{пр.д}$  на две его части так, что

$$T_{пр.д} = |T_{пр.с}| + |T_{пр.б}|.$$

Динамические модели, отвечающие наличию циркулирующей мощности  $N_{ц} \neq 0$ , представлены на рис.1е и 1ж в виде встречно-параллельного соединения приведенных жесткостей  $C_b$  и  $C_c$ , предварительно закрученных (деформированных) некоторым моментом  $T$  в одном или противоположном направлении. Приведенный момент  $T_{пр.д}$  приложен между жесткостями  $C_b$  и  $C_c$  и воздействует на ветви  $b$  и  $c$  по

разному: деформацию одной из них (например, с) увеличивает моментом  $T_{пр.с} = |T| + |T_{пр.д}|$ , деформацию другой (например, b) уменьшает (момент  $T_{пр.б} = |T| - |T_{пр.д}|$ ). Меньший из моментов  $T_{пр.с}$  или  $T_{пр.б}$  является аналогом циркулирующей мощности (знак этого момента совпадает со знаком внешнего момента  $T_d = T_{пр.д}$ ).

Во всех случаях, включая  $N_{ц} = 0$ , внешний момент  $T_d$  распределяется между двумя ветвями пропорционально жесткостям  $\frac{T_{пр.б}}{C_b} = \frac{T_{пр.с}}{C_c}$ , что отвечает параллельному их включению.

К выводам, изложенным выше, можно добавить:

- наибольшее влияние на приведенную жесткость оказывают те упругие элементы, которые расположены дальше всего от ведущего звена и имеют большие передаточные отношения,

- чем меньше передаточное отношение механизма и его составляющих, тем больше приведенная жесткость всего механизма,

- снижение неравномерности нагрузки среди сателлитов ( $\Omega$ ) и переборов ( $\Omega_{ц}$ ) можно достичь снижением жесткости сателлитных узлов и переборов, а также увеличением конструктивных параметров  $x\lambda$  и  $\lambda_{ц}$ .

**Список литературы:** 1. Айрапетов Э.Л., Генкин М.Д. Статика планетарных механизмов. М. «Наука», 1976, 263с. 2. Кудрявцев В.Н. Планетарные передачи. Справочник. Л. Машиностроение, 1977, 535с. 3. Полетучий А.М., Шебанов И.Г., Алферов В.В. Жесткость и инерционность зубчатых планетарных механизмов систем управления летательных аппаратов, Харьков, ХАИ, 1992, 76с.